

Python-Generated Math Figures / Mit Python generierte mathematische Figuren

Emily J. King

This work is licensed under the Creative Commons Attribution-ShareAlike 4.0 International License. To view a copy of this license, visit <http://creativecommons.org/licenses/by-sa/4.0/> or send a letter to Creative Commons, PO Box 1866, Mountain View, CA 94042, USA.

Table of Contents / Inhaltsverzeichnis

1 Properties of the Real Numbers / Eigenschaften der reellen Zahlen	3
1.1 Ceiling and Floor / Abrundungs- und Aufrundungsfunktion	3
1.2 Bounded Sets / beschränkte Mengen	4
2 Sequences / Folgen	6
2.1 Various Sequence Examples / verschiedene Beispiele von Folgen	6
2.2 Cluster Points and the Bolzano-Weierstrass Theorem / Häufungspunkte und der Satz von Bolzano-Weierstraß	9
3 Cantor Diagonalization Arguments / Cantor'sche Diagonalverfahren	11
4 Limits of Functions and Continuity / Grenzwerte bei Funktionen und Stetigkeit	13
5 Trigonometry / Trigonometrie	18
6 Misc. Elementary Functions / sonst. elementare Funktionen	22
7 Differentiation / Differentiation	23
7.1 Tangent and Secant Lines / Sekanten und Tangenten	23
7.2 Optima / Optima	24
7.3 Convexity / Konvexität	25

8 Metrics and Norms / Metriken und Normen	26
9 Integration and Step Functions / Integration und Treppenfunktionen	29
9.1 Step Functions / Treppenfunktionen	29
9.2 Riemann Integration / Riemann-Integration	33
10 Linear Algebra / lineare Algebra	36
11 Harmonic Analysis / harmonische Analysis	37
11.1 Time-Frequency Analysis / Zeit-Frequenz-Analyse	37
11.2 Wavelets / Wavelets	38

1 Properties of the Real Numbers / Eigenschaften der reellen Zahlen

1.1 Ceiling and Floor / Abrundungs- und Aufrundungsfunktion

Proposition 1.1. Let \mathbb{F} be an Archimedean ordered field. For all $x \in \mathbb{F}$ there exists a unique $n \in \mathbb{Z}$ with

$$n \leq x < n + 1$$

Proposition 1.2. Sei \mathbb{F} ein archimedisch geordneter Körper. Zu jedem $x \in \mathbb{F}$ gibt es eine eindeutig bestimmte Zahl $n \in \mathbb{Z}$ mit

$$n \leq x < n + 1$$



Figure / Abbildung 1: A number line illustrating the proof of Proposition 1.1. / Eine Zahlengerade, die den Beweis Proposition 1.2 veranschaulicht.

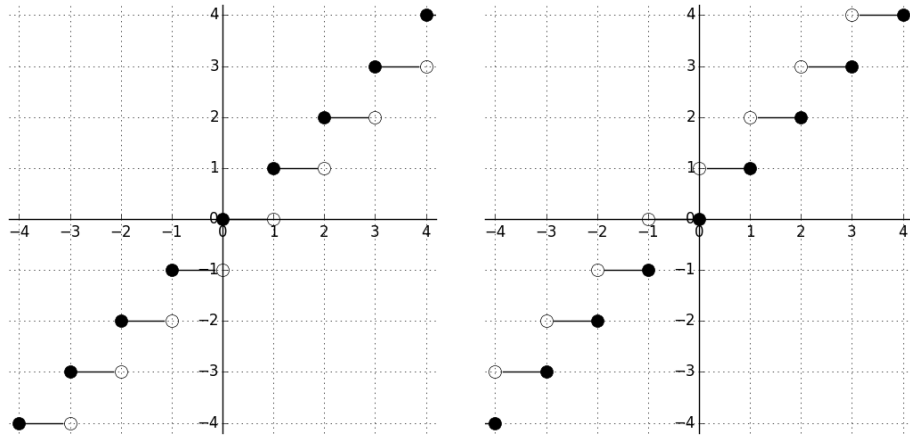


Figure / Abbildung 2: Left: Floor function, Right: Ceiling function / Links: Abrundungsfunktion, Rechts: Aufrundungsfunktion

1.2 Bounded Sets / beschränkte Mengen

Example 1.3.

- a. Let $M := \{x \in \mathbb{R} : 1 < x \leq 2\}$. M is bounded and has both a maximum and infimum in the real numbers but no minimum. Namely, $\max(M) = 2$ and $\inf(M) = 1$. Assume by way of contradiction that $n = \min(M)$. There exists a ϵ with $0 < \epsilon < 1$ and $n = 1 + \epsilon$. But then $n' = 1 + \epsilon/2 \in M$ and $n' < n$, a contradiction. \leftarrow Thus M does not have a minimum.
- b. Let $M := \{1/n : n \in \mathbb{N}\}$. Since the elements of M are positive, 0 is a lower bound on M . Also, since for all $n \in \mathbb{N}$, $n \geq 1$ and thus $1 \geq 1/n$, 1 is an upper bound on M ; more precisely, it is the maximum. It follows from Proposition xxxxx that 0 is the infimum of M since if $\epsilon > 0$ were a lower bound of M , then there would be a $n \in \mathbb{N}$ such that $1/n < \epsilon$. But this contradicts the assumption that ϵ is a lower bound. \leftarrow
- c. Let $M := \{x \in \mathbb{Q} : x^2 < 2\}$. M is bounded since for example $x^2 > 2$ when $x > 2$ or $x < -2$. Furthermore, M has neither a supremum nor an infimum in the rational numbers, since there is no $x \in \mathbb{Q}$ with $x^2 = 2$. (We will prove this fact later in Proposition xxxxx.) M does, however, have both a supremum, resp. infimum, in the real numbers, namely $\sqrt{2}$, resp. $-\sqrt{2}$. (We will explicitly define roots later.)

Beispiel 1.4.

- a. Sei $M := \{x \in \mathbb{R} : 1 < x \leq 2\}$. M ist beschränkt und besitzt ein Maximum und Infimum in den reellen Zahlen aber kein Minimum. Und zwar $\max(M) = 2$ und $\inf(M) = 1$. Angenommen, es sei $n := \min(M)$, dann existiert ein ϵ so dass $0 < \epsilon < 1$ und $n = 1 + \epsilon$ gilt. Aber dann ist $n' := 1 + \epsilon/2 \in M$ und $n' < n$. \leftarrow Also besitzt M kein Minimum.
- b. Sei $M := \{1/n : n \in \mathbb{N}\}$. Da die Elemente von M positiv sind, ist 0 eine untere Schranke von M . Da für alle $n \in \mathbb{N}$, $n \geq 1 \Rightarrow 1 \geq 1/n$, ist 1 eine obere Schranke, eigentlich das Maximum. Es folgt aus Proposition xxxx, dass 0 das Infimum von M ist. Wenn $\epsilon > 0$ ein untere Schranke von M ist, dann existiert ein $n \in \mathbb{N}$, so dass $1/n < \epsilon$. Dann ist ϵ keine untere Schranke. \leftarrow
- c. Sei $M := \{x \in \mathbb{Q} : x^2 < 2\}$. M ist beschränkt, da $x^2 > 2$ wenn zum Beispiel $x > 2$ oder $x < -2$. M besitzt weder ein Minimum noch ein Maximum. Außerdem besitzt M kein Supremum (bzw. Infimum) in den rationalen Zahlen, da es kein $x \in \mathbb{Q}$ gibt, so dass $x^2 = 2$. (Wir werden das später [Proposition xxxxxx beweisen.] M besitzt ein Supremum bzw. ein Infimum in den reellen Zahlen, nämlich $\sqrt{2}$, bzw. $-\sqrt{2}$. (Wir werden Wurzel später definieren.)

The sets defined in Example 1.3 are illustrated in Figure 1.3. / Die Menge in Beispiel 1.4 wird in Abbildung 3 veranschaulicht.

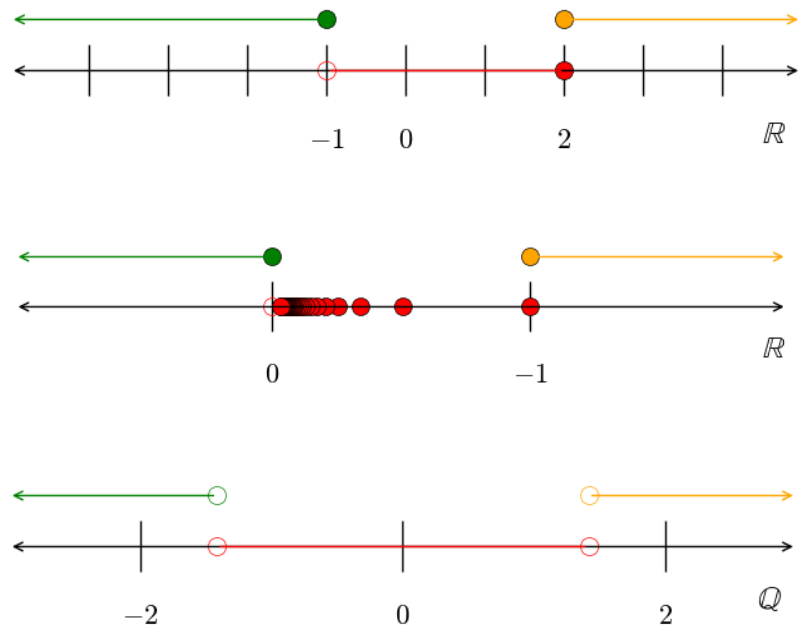


Figure / Abbildung 3: Example 1.3 illustrated on number lines. Red stands for the points in M , yellow the upper bounds of M , and green the lower bounds. A filled circle means that the value is an element of the particular set, while an open disc means that the value does not lie in the set. Top: Beispiel 1.3.a, Middle: Beispiel 1.3.b, Bottom: Beispiel 1.3.c. / Beispiel 1.4 veranschaulicht. Rot entspricht Punkten in M , gelb entspricht den oberen Schranken von M und grün entspricht den unteren Schranken von M . Ein gefüllter Kreis bedeutet, dass der Wert ein Element der Menge ist, und ein offener Kreis bedeutet, dass der Wert kein Element der Menge ist. Oben: Beispiel 1.4.a, Mitte: Beispiel 1.4.b, Unten: Beispiel 1.4.c

2 Sequences / Folgen

2.1 Various Sequence Examples / verschiedene Beispiele von Folgen

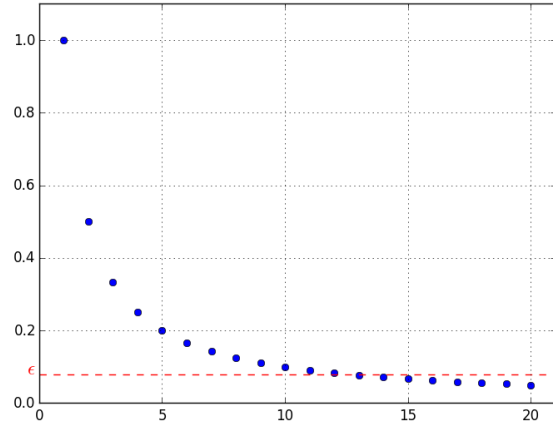


Figure / Abbildung 4: $f(n) = 1/n$

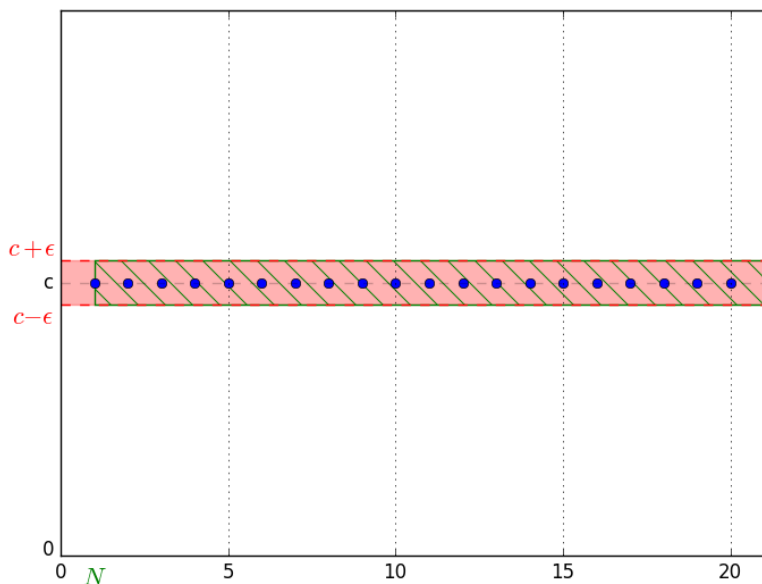


Figure / Abbildung 5: $a_n = c$: The constant sequence with all components equal to c converges trivially to c . / Die konstante Folge (c, c, c, c, \dots) konvergiert trivialerweise gegen c .

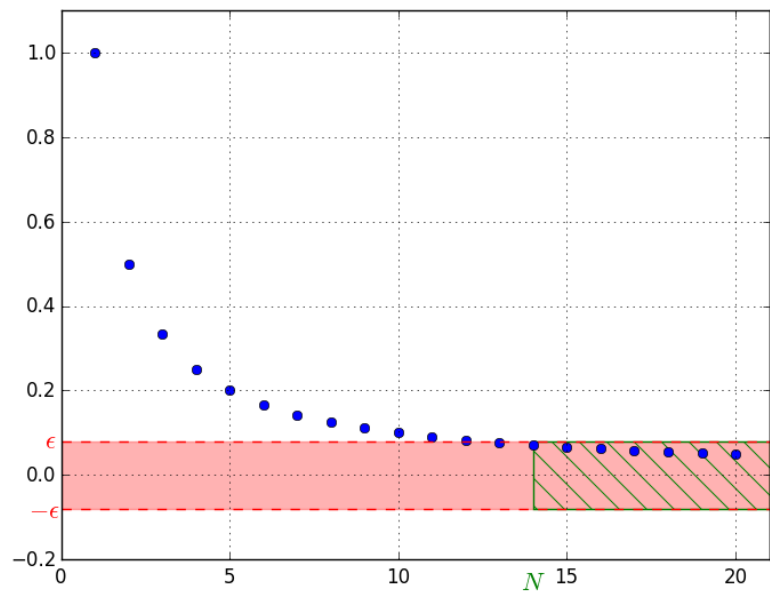


Figure / Abbildung 6: $a_n = 1/n$: The sequence $(1/n)_{n \in \mathbb{N}}$ is a null sequence. That means that it converges to 0. / Die Folge 1 durch n ist eine Nullfolge. Das heißt, dass sie gegen 0 konvergiert.

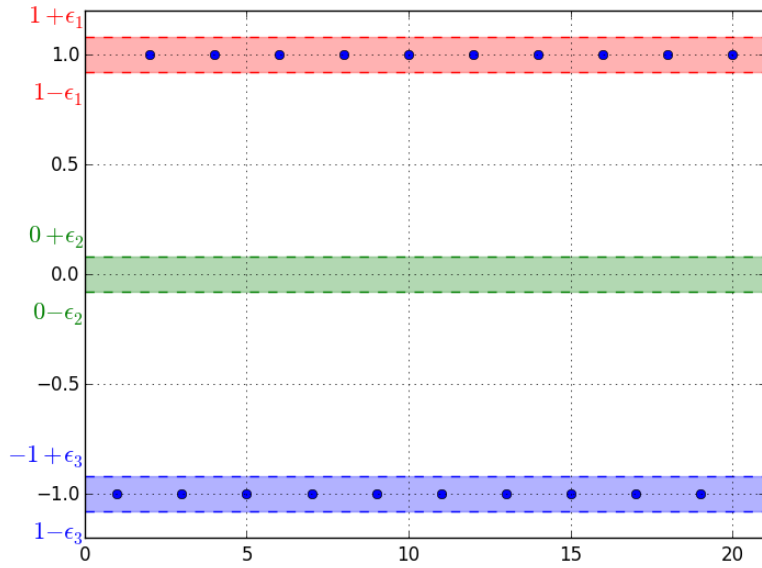


Figure / Abbildung 7: $a_n = (-1)^n$: $(((-1)^n))_{n \in \mathbb{N}}$ divergence. For all $\epsilon > 0$ and $a \in \mathbb{R}$, there are infinitely many $n \in \mathbb{N}$ with $|a - a_n| > \epsilon$. / $(a_n) := ((-1)^n)$ ist divergent. Für alle $\epsilon > 0$ und $a \in \mathbb{R}$, es gibt unendlich viele $n \in \mathbb{N}$ mit $|a - a_n| > \epsilon$.

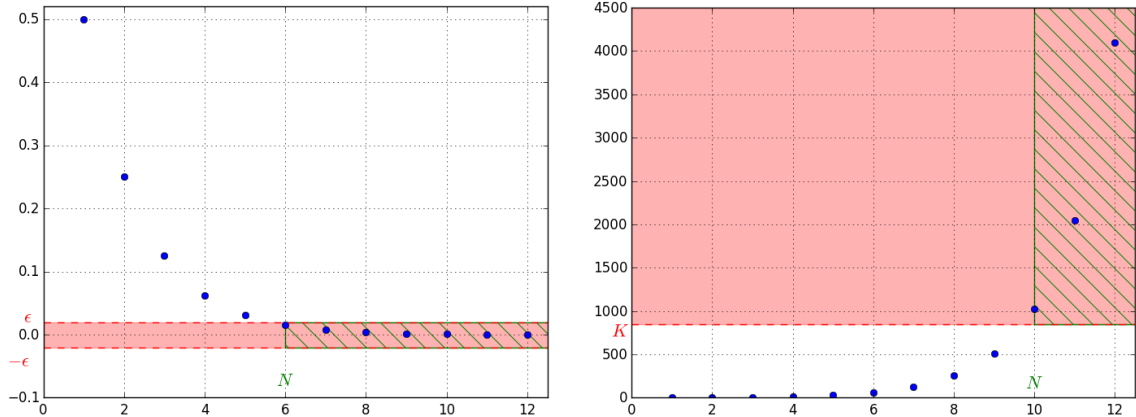


Figure / Abbildung 8: $a_n = x^n$: Left $0 < x < 1$, Right $x > 1$. / Links $0 < x < 1$, Rechts $x > 1$.

2.2 Cluster Points and the Bolzano-Weierstrass Theorem / Häufungspunkte und der Satz von Bolzano-Weierstraß

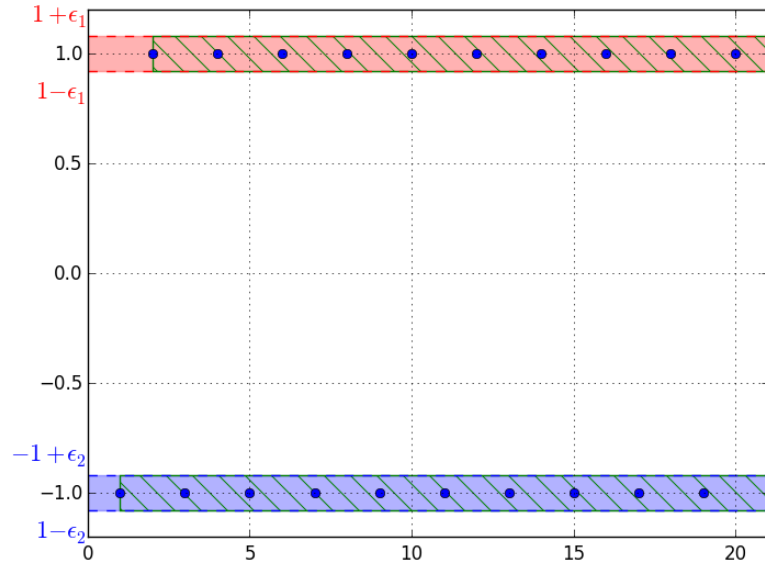


Figure / Abbildung 9: $a_n = (-1)^n$ does not converge but does have two cluster points (± 1). / $a_n = (-1)^n$ besitzt keinen Grenzwert aber zwei Häufungspunkte (± 1).

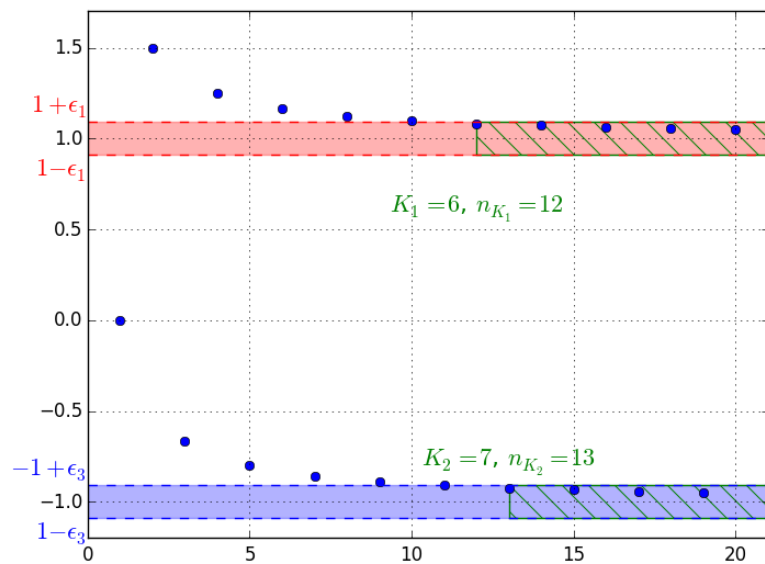


Figure / Abbildung 10: $a_n = (-1)^n + 1/n$

Theorem 2.1 (Bolzano-Weierstrass). *Every bounded sequence in \mathbb{R} has a convergent subsequence.*

Satz 2.1 (Bolzano-Weierstraß). *Jede beschränkte Folge in \mathbb{R} besitzt eine konvergente Teilfolge.*

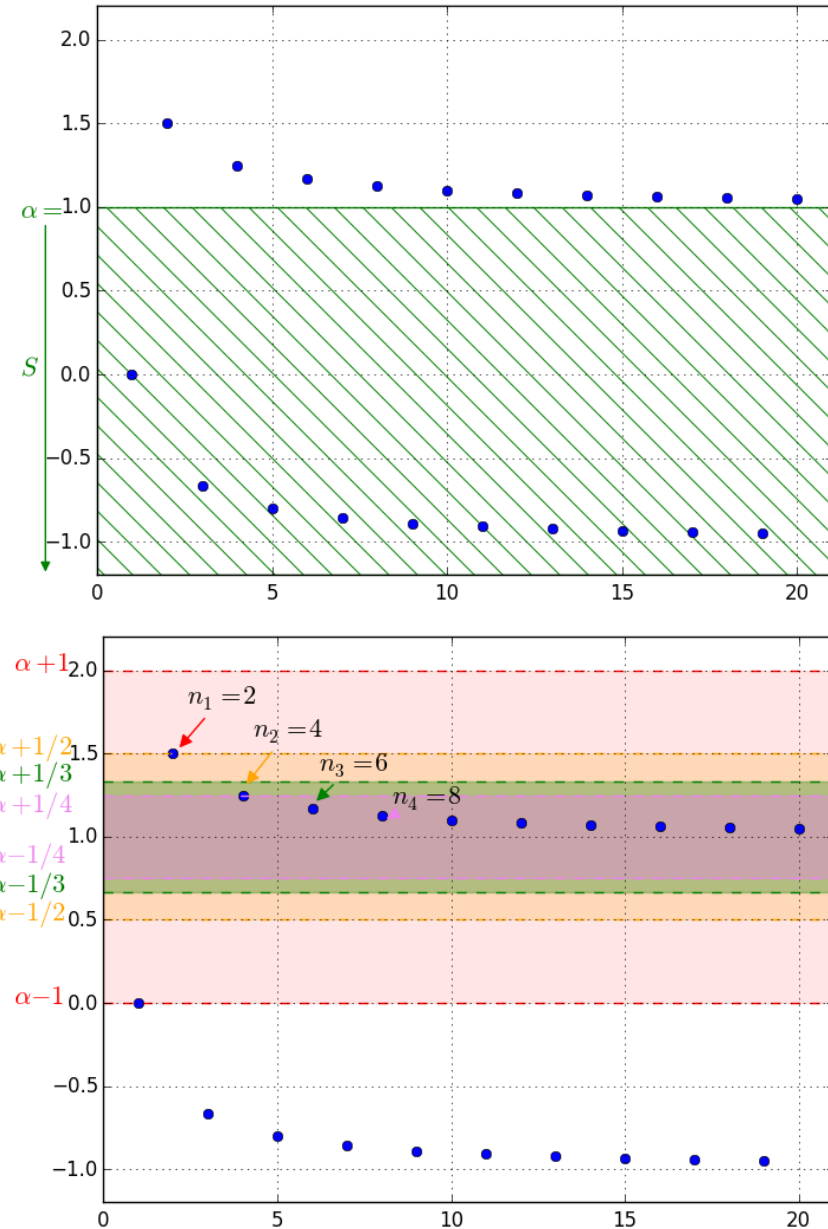


Figure / Abbildung 11: The proof of Bolzano-Weierstrass. (Theorem 2.1) / Der Beweis des Satzes Bolzano-Weierstraß (Satz 2.1)

3 Cantor Diagonalization Arguments / Cantor'sche Diagonalverfahren

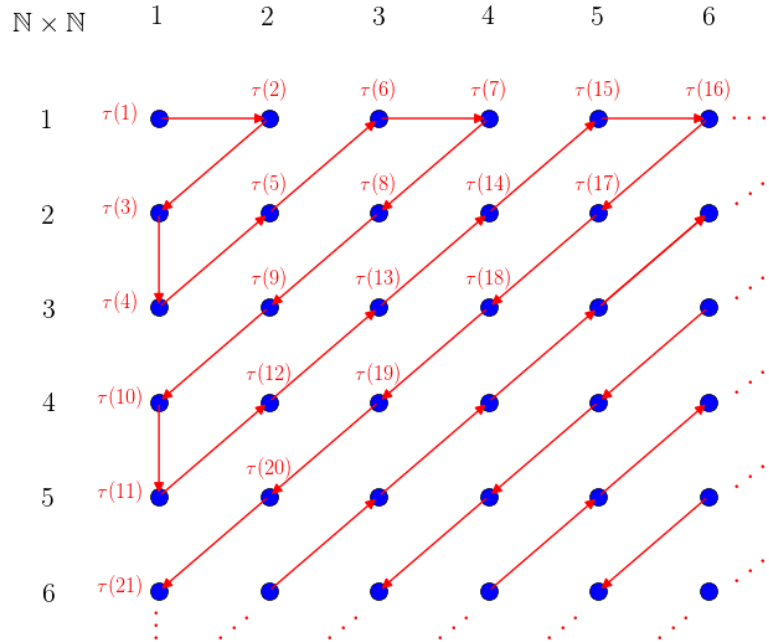


Figure / Abbildung 12: The bijective Cantor pairing function $\tau : \mathbb{N} \rightarrow \mathbb{N} \times \mathbb{N}$. / Die bijektive Abbildung $\tau : \mathbb{N} \rightarrow \mathbb{N} \times \mathbb{N}$ aus dem ersten Cantor'schen Diagonalverfahren

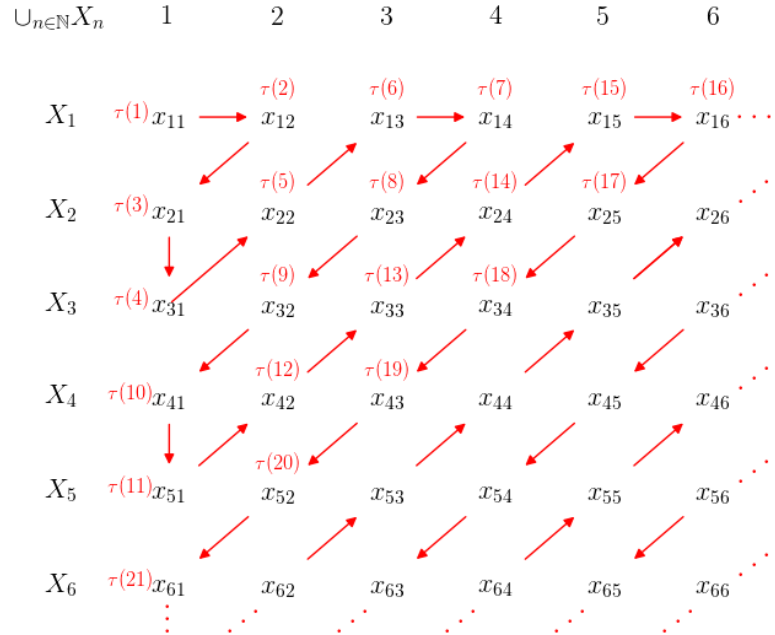


Figure / Abbildung 13: The surjective function $\tau : \mathbb{N} \rightarrow \cup_{n=1}^{\infty} X_n$ arising from the Cantor pairing function. / Die surjektive Abbildung $\tau : \mathbb{N} \rightarrow \cup_{n=1}^{\infty} X_n$ aus dem ersten Cantor'schen Diagonalverfahren

s_1	a_{11}	a_{12}	a_{13}	a_{14}	a_{15}	\dots
s_2	a_{21}	a_{22}	a_{23}	a_{24}	a_{25}	\dots
s_3	a_{31}	a_{32}	a_{33}	a_{34}	a_{35}	\dots
s_4	a_{41}	a_{42}	a_{43}	a_{44}	a_{45}	\dots
s_5	a_{51}	a_{52}	a_{53}	a_{54}	a_{55}	\dots
\vdots	\vdots	\vdots	\vdots	\vdots	\vdots	\ddots
s	b_1	b_2	b_3	b_4	b_5	\dots

Figure / Abbildung 14: Cantor diagonalization argument. / Das zweite Cantor'schen Diagonalverfahren.

4 Limits of Functions and Continuity / Grenzwerte bei Funktionen und Stetigkeit

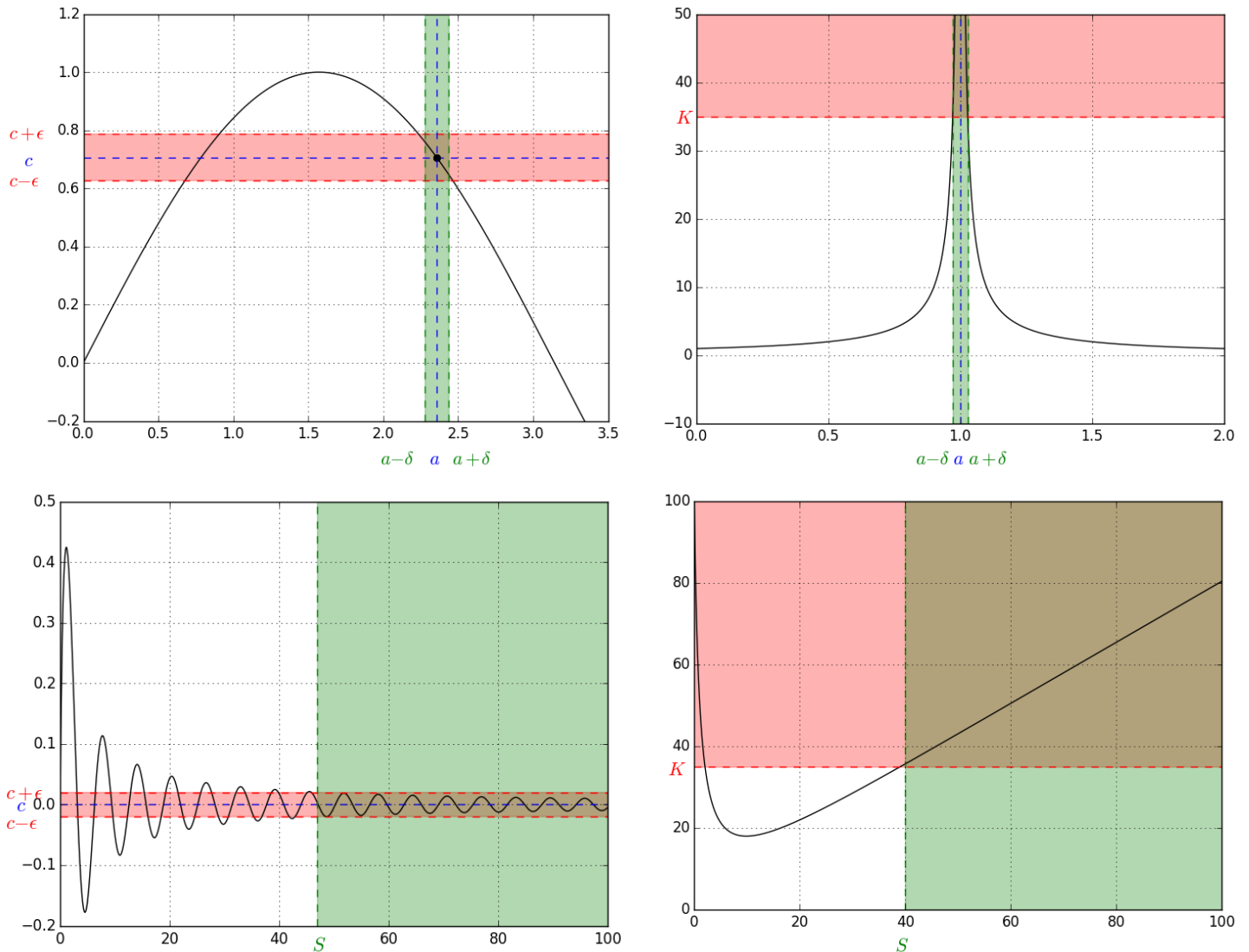


Figure / Abbildung 15: Upper left / Oben links: $\lim_{x \rightarrow a} f(x) = c$, upper right / oben rechts: $\lim_{x \rightarrow a} f(x) = +\infty$, lower left / unten links: $\lim_{x \rightarrow +\infty} f(x) = c$, lower right / unten rechts: $\lim_{x \rightarrow +\infty} f(x) = +\infty$

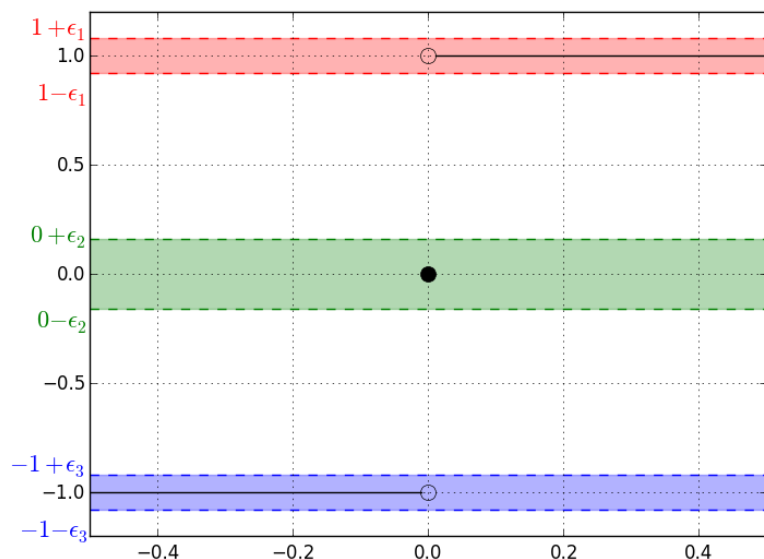


Figure / Abbildung 16: The sign function does not converge at 0. / Die Vorzeichenfunktion hat keinen Grenzwert an der Stelle 0.

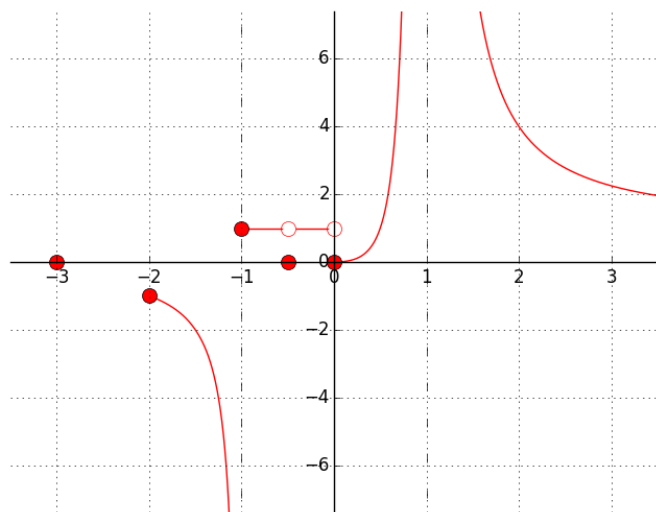


Figure / Abbildung 17: The function f from Example 4.1. / Die Abbildung f im Beispiel 4.2

Example 4.1. Let $f : D \rightarrow \mathbb{R}$ be defined by

$$f(x) := \begin{cases} \frac{x^2}{(x-1)^2}; & (0 \leq x < 1) \vee (1 < x) \\ 1; & (-1 \leq x < -1/2) \vee (-1/2 < x < 0) \\ 0; & x = -1/2 \\ \frac{1}{x+1}; & -2 \leq x < -1 \\ 0; & x = -3 \end{cases}.$$

- The domain is $D = \{-3\} \cup [-2, 1) \cup (1, \infty)$. -3 is an isolated point of D and thus also in the closure \overline{D} , 2 is a limit point lying in D and thus also in the closure, 1 is a limit point of D lying in \overline{D} but not in D .
- We note that $-1 \in D$, although $x = -1$ is a vertical asymptote of f . The reason is that $f(-1)$ is defined, namely $f(-1) = 1$.
- It follows from the definition of a limit of a function (Definition xxxxx) that if $\lim_{x \rightarrow a} f(x)$ exists, then a must either be a limit point of the domain of f or equal to $\pm\infty$ (in the case that $D \subseteq \mathbb{R}$ is unbounded from above or below).
- Some limits of f :
 - $\lim_{x \rightarrow -3} f(x)$: Does not exist since -3 is an isolated point of D .
 - $\lim_{x \rightarrow -1} f(x)$: Does not exist since for all $\delta > 0$, there are $x_1, x_2 \in B_\delta(-1) \setminus \{-1\}$ such that $f(x_1)$ is arbitrarily large and negative while $f(x_2) = 1$. (Cf. the proof in Example xxxxxx.)
 - $\lim_{x \rightarrow -1/2} f(x) = 1$: For all $\epsilon > 0$ and $0 < \delta < 1/2$,

$$|f(x) - 1| = |1 - 1| = 0 < \epsilon \quad \text{for all } x \in B_\delta(-1/2) \setminus \{-1/2\}.$$

(This is not a typical case, since it is possible to use the same δ for all values of ϵ .)

- $\lim_{x \rightarrow -1/4} f(x) = 1$: For the same reasons as above.
- $\lim_{x \rightarrow 0} f(x)$: Does not exist since for all $\delta > 0$ there are $x_1, x_2 \in B_\delta(0) \setminus \{0\}$ such that $f(x_1) = 1$ and $f(x_2) = 0$. (Cf. the proof in Example xxxxx.)
- $\lim_{x \rightarrow 1} f(x) = +\infty$: For all $K > 3$ it follows from Proposition xxxx that for all $x \in B_{1/K}(1) \setminus \{1\}$

$$0 < (x-1)^2 = |x-1|^2 < \frac{1}{K},$$

$$\Rightarrow f(x) = \frac{x^2}{(x-1)^2} > x^2 K^2 > (2/3)^2 K^2 > 4/3 K > K.$$

- $\lim_{x \rightarrow \infty} f(x) = 1$. (We will prove this later, but note that using the methods you know now, you could show that $\lim_{x \rightarrow \infty} \frac{x}{x-1} = 1$.)
- It follows from the definition of continuity (Definition xxxx) that when f is continuous at a , a must lie in D .
- We will investigate the continuity of f .
 - f is continuous at -3 since -3 is an isolated point in the domain.
 - f is not continuous at -1 (resp., 0) since -1 (resp., 0) is a limit point of the domain but $\lim_{x \rightarrow -1} f(x)$ (resp., $\lim_{x \rightarrow 0} f(x)$) does not exist.
 - f is not continuous at $-1/2$ since $-1/2$ is a limit point and element of the domain but $\lim_{x \rightarrow -1/2} f(x) \neq f(-1/2)$.
 - f is continuous at $-1/4$ since $-1/4$ is a limit point and element of the domain and $\lim_{x \rightarrow -1/4} f(x) = f(-1/4)$.
 - f is not continuous at 1 . Although 1 is a limit point of the domain, it does not lie in the domain.
 - f is continuous over $\{-3\} \cup [-2, -1] \cup (-1, -1/2) \cup (-1/2, 0) \cup (0, 1) \cup (1, \infty)$.

Beispiel 4.2. Sei $f : D \rightarrow \mathbb{R}$ durch

$$f(x) := \begin{cases} \frac{x^2}{(x-1)^2}; & (0 \leq x < 1) \vee (1 < x) \\ 1; & (-1 \leq x < -1/2) \vee (-1/2 < x < 0) \\ 0; & x = -1/2 \\ \frac{1}{x+1}; & -2 \leq x < -1 \\ 0; & x = -3 \end{cases}$$

definiert.

- Der Definitionsbereich ist $D = \{-3\} \cup [-2, 1) \cup (1, \infty)$. Dann ist -3 isolierter Punkt von D also auch Berührpunkt, 2 ist Häufungspunkt von D also auch Berührpunkt, 1 ist Häufungspunkt von D also auch Berührpunkt aber kein Element von D .
- Wir bemerken, dass $-1 \in D$, obwohl $x = -1$ eine senkrechte Asymptote von f ist. Der Grund dafür ist, dass $f(-1)$ definiert ist und zwar $f(-1) = 1$.
- Nach der Definition von Grenzwerten von einer Abbildung (Definition xxxx), wenn $\lim_{x \rightarrow a} f(x)$ existiert, dann muss a entweder ein Häufungspunkt vom Definitionsbereich oder $\pm\infty$ (falls $D \subseteq \mathbb{R}$ und nach oben bzw. nach unten unbeschränkt) sein.

- Ein paar Grenzwerte von der oben definierten f :
 - $\lim_{x \rightarrow -3} f(x)$: Existiert nicht, da -3 ein isolierter Punkt von D ist.
 - $\lim_{x \rightarrow -1} f(x)$: Existiert nicht, da für alle $\delta > 0$ es $x_1, x_2 \in B_\delta(-1) \setminus \{-1\}$ gibt, sodass $f(x_1)$ beliebig groß und negativ ist und $f(x_2) = 1$ gilt. (Vgl. dem Beweis im Beispiel xxxx.)
 - $\lim_{x \rightarrow -1/2} f(x) = 1$: Für alle $\epsilon > 0$ und $0 < \delta < 1/2$, gilt für alle $x \in B_\delta(-1/2) \setminus \{-1/2\}$ $|f(x) - 1| = |1 - 1| = 0 < \epsilon$. (In diesem nicht typischen Fall funktionieren die gleichen δ für alle $\epsilon > 0$.)
 - $\lim_{x \rightarrow -1/4} f(x) = 1$: Aus dem gleichen Grund.
 - $\lim_{x \rightarrow 0} f(x)$: Existiert nicht, da für alle $\delta > 0$ es $x_1, x_2 \in B_\delta(0) \setminus \{0\}$ gibt, sodass $f(x_1) = 1$ und $f(x_2) = 0$ gilt. (Vgl. mit dem Beweis im Beispiel xxxxx.)
 - $\lim_{x \rightarrow 1} f(x) = +\infty$: Für $K > 3$ gilt nach Proposition xxxx für alle $x \in B_{1/K}(1) \setminus \{1\}$

$$0 < (x - 1)^2 = |x - 1|^2 < \frac{1}{K},$$

$$\text{also } f(x) = \frac{x^2}{(x - 1)^2} > x^2 K^2 > (2/3)^2 K^2 > 4/3 K > K.$$

- $\lim_{x \rightarrow \infty} f(x) = 1$. (Wir werden diese Aussage später zeigen aber bemerken, dass es einfach wäre direkt zu beweisen, dass $\lim_{x \rightarrow \infty} \frac{x}{x-1} = 1$.)
- In der Definition der Stetigkeit (Definition xxxx) ist es notwendig, dass wenn f in a stetig ist, $a \in D$ ist.
- Wir untersuchen die Stetigkeit der oben definierten f :

- f ist in -3 stetig, da -3 ein isolierter Punkt ist.
- f ist nicht in -1 (bzw. 0) stetig, da -1 (bzw. 0) ein Häufungspunkt und Element von D ist und ein Grenzwert von f in -1 nicht existiert.
- f ist nicht in $-1/2$ stetig, da $-1/2$ ein Häufungspunkt und Element von D ist aber $\lim_{x \rightarrow -1/2} f(x) \neq f(-1/2)$ gilt.
- f ist in $-1/4$ stetig, da $-1/4$ ein Häufungspunkt und Element von D ist und $\lim_{x \rightarrow -1/4} f(x) = f(-1/4)$ gilt.
- f ist nicht in 1 stetig; obwohl 1 ein Häufungspunkt von D ist, ist sie kein Element von D .
- f ist in $\{-3\} \cup [-2, -1] \cup (-1, -1/2) \cup (-1/2, 0) \cup (0, 1) \cup (1, \infty)$ stetig.

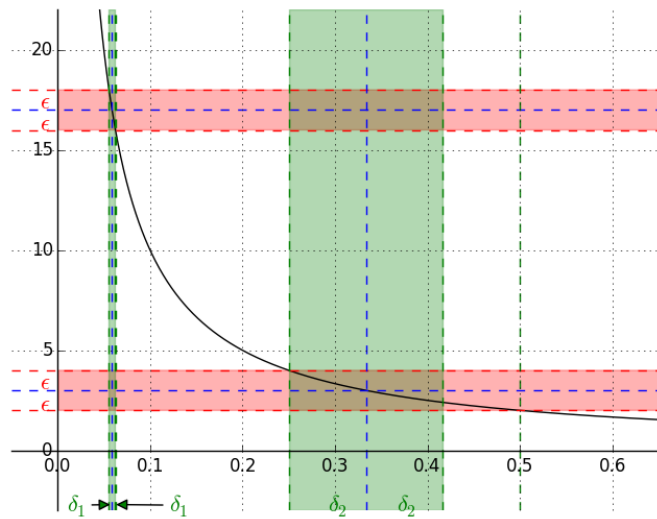


Figure / Abbildung 18: The function $f : (0, 1] \rightarrow \mathbb{R}$, $x \mapsto 1/x$ is continuous but not uniformly continuous. / Die Abbildung $f : (0, 1] \rightarrow \mathbb{R}$, $x \mapsto 1/x$ ist stetig aber nicht gleichmäßig stetig.

5 Trigonometry / Trigonometrie

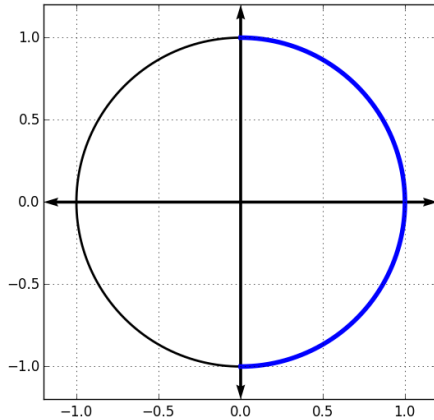


Figure / Abbildung 19: Unit circle, $\theta \in [-\frac{\pi}{2}, \frac{\pi}{2}]$ / Einheitskreis, $\theta \in [-\frac{\pi}{2}, \frac{\pi}{2}]$

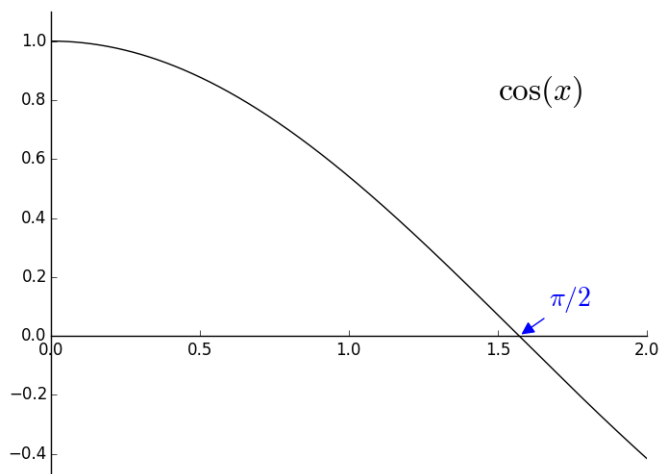


Figure / Abbildung 20: The function \cos has exactly one zero in the interval $[0, 2]$. We define $\pi/2$ to be the location of this zero. / Die Abbildung \cos hat im Intervall $[0, 2]$ genau eine Nullstelle. Wir definieren $\pi/2$ als diese Nullstelle.

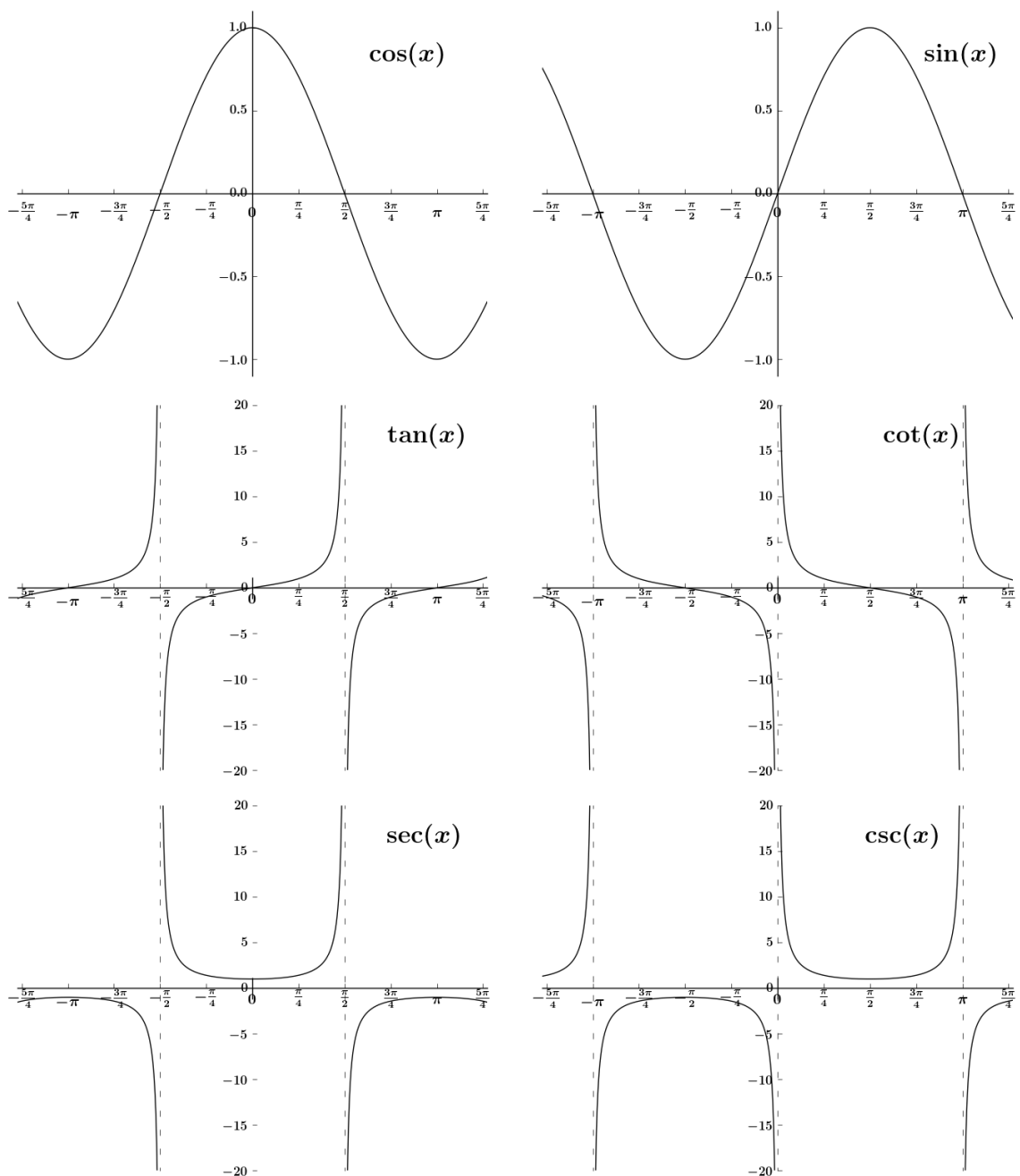


Figure / Abbildung 21: The trigonometric functions. Upper left: cosine, upper right: sine, middle left: tangent, middle right: cotangent, lower left: secant, lower right: cosecant. / Die trigonometrische Abbildungen. Oben links Cosinus, oben rechts Sinus, mitte links Tangens, mitte rechts Cotangens, unten links Secans, unten rechts Cosecans.

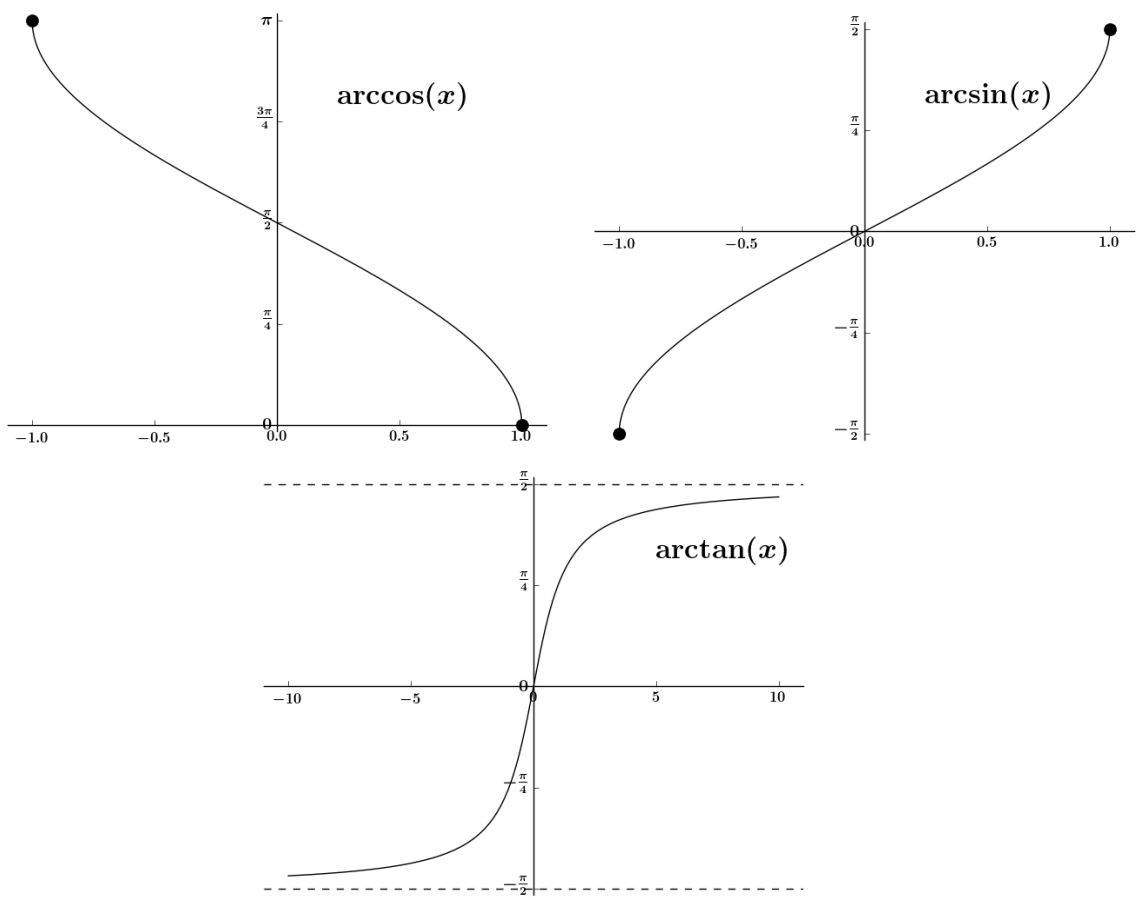


Figure / Abbildung 22: The inverse trigonometric functions. Top left: inverse cosine, top right: inverse sine, bottom: inverse tangent. / Die trigonometrische Umkehrabbildungen. Oben links Arcus-Cosinus, oben rechts Arcus-Sinus, unten Arcus-Tangens

6 Misc. Elementary Functions / sonst. elementare Funktionen

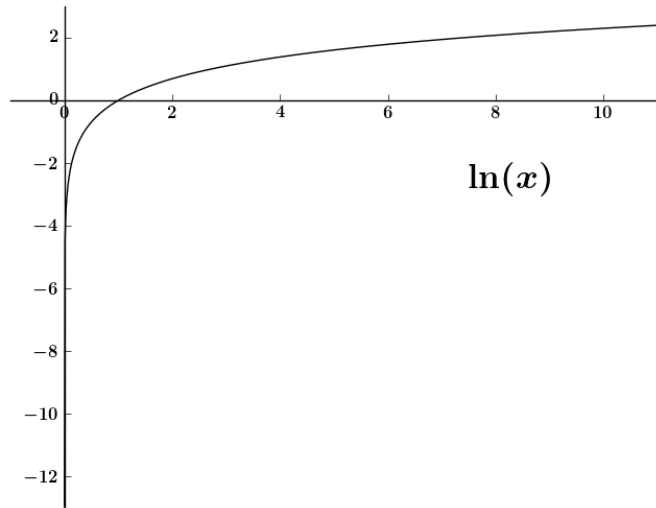


Figure / Abbildung 23: Natural logarithm, $\ln : \mathbb{R}_* \rightarrow \mathbb{R}$ / Natürlicher Logarithmus, $\ln : \mathbb{R}_* \rightarrow \mathbb{R}$

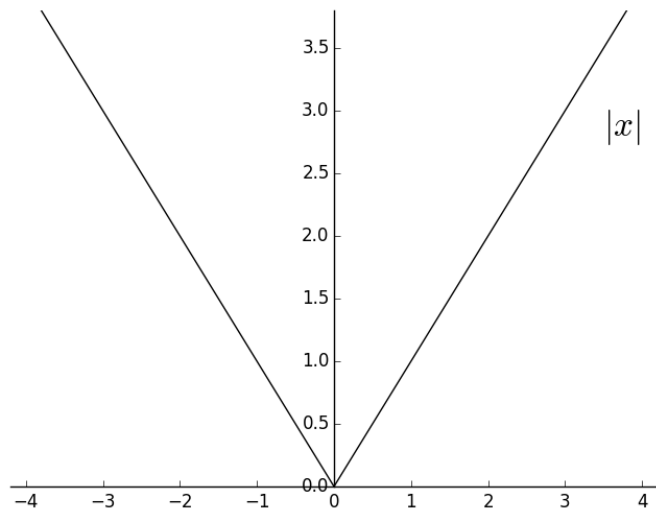


Figure / Abbildung 24: $x \mapsto |x|$

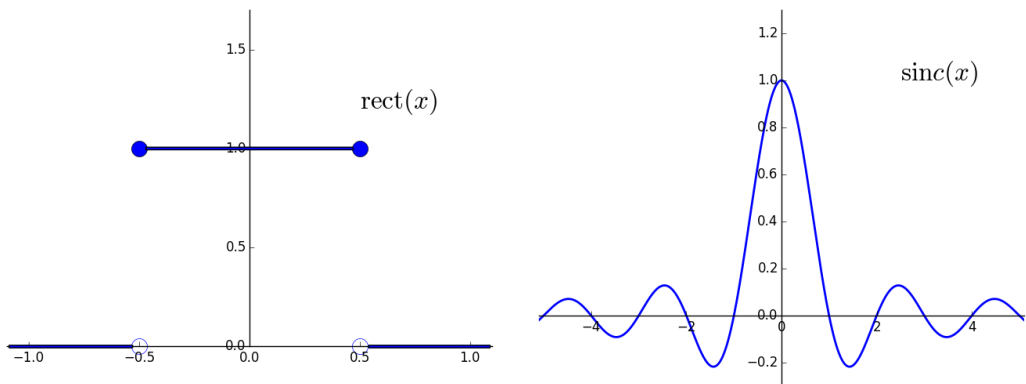


Figure / Abbildung 25: Left: $\text{rect} = \mathbb{1}_{[-1/2,1/2]}$. Right: sinc, its Fourier transform. / Links: $\text{rect} = \mathbb{1}_{[-1/2,1/2]}$. Rechts: sinc, die Fourier-Transformation von rect.

7 Differentiation / Differentiation

7.1 Tangent and Secant Lines / Sekanten und Tagenten

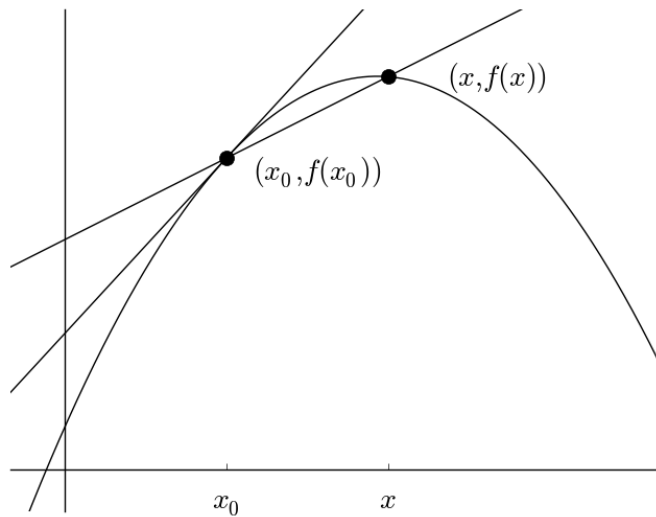


Figure / Abbildung 26: The secant line through $(x, f(x))$ and $(x_0, f(x_0))$ and the tangent line at $(x_0, f(x_0))$. / Die Gerade (Sekante) durch $(x, f(x))$ und $(x_0, f(x_0))$ und die Tangente im Punkt $(x_0, f(x_0))$.

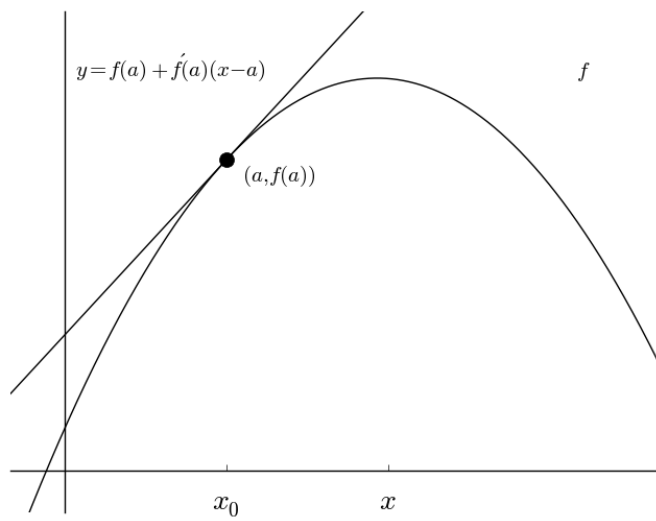


Figure / Abbildung 27: The first Taylor polynomial: $y = f(a) + f'(a)(x - a)$ / Der erste Taylorpolynom: $y = f(a) + f'(a)(x - a)$

7.2 Optima / Optima

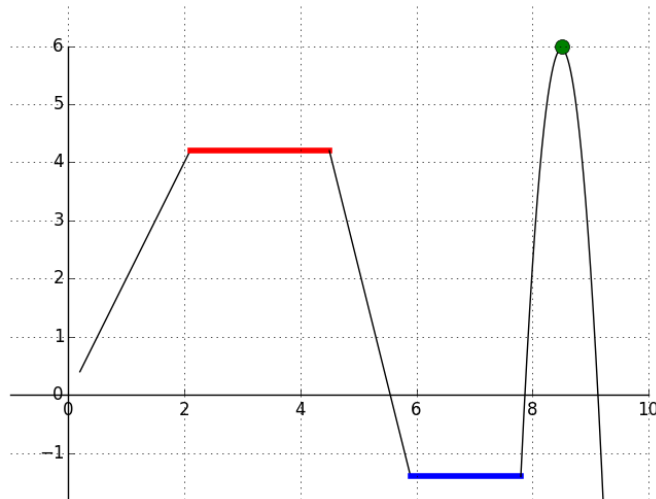


Figure / Abbildung 28: The local maxima of the function are marked in red and the local minima in blue. The green point is a strict global maximum. / Die Abbildung hat in den roten Punkten lokale Maxima, in den blauen Punkten lokale Minima und in dem grünen Punkt ein striktes globales Maximum.

7.3 Convexity / Konvexität

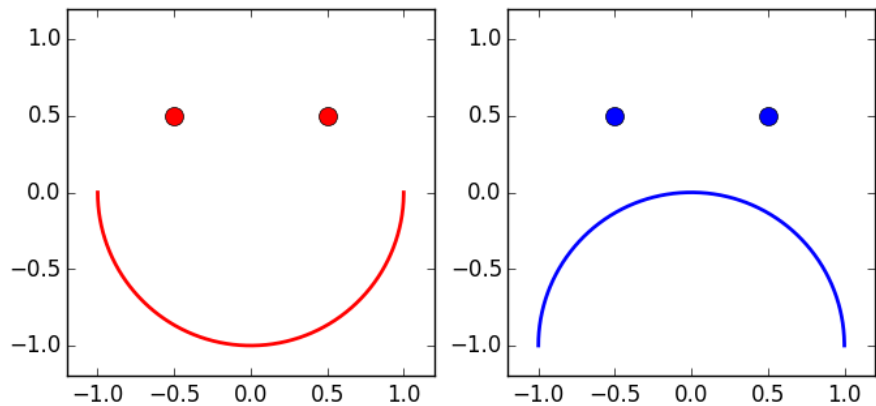


Figure / Abbildung 29: Left: CONVEX!!, right: concaaaaaaaaaav / Links: KONVEX!!, rechts: koncaaaaaaaaaav

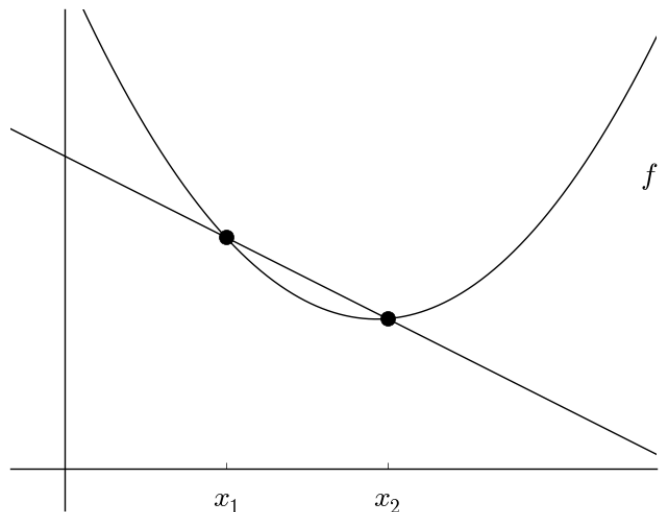


Figure / Abbildung 30: The graph of the convex function f over $[x_1, x_2]$ lies under the secant line through $(x_1, f(x_1))$ and $(x_2, f(x_2))$. / Der Graph von der konvexen f im Intervall $[x_1, x_2]$ liegt unterhalb der Sekante durch $(x_1, f(x_1))$ und $(x_2, f(x_2))$.

8 Metrics and Norms / Metriken und Normen

Definition 8.1. Let $p \geq 1$ be a real number and $\mathbb{F} = \mathbb{R}$ or \mathbb{C} . We define a norm $\|\cdot\|_p$ over $\mathbb{F}^n = \{x = (x_1, x_2, \dots, x_n) : x_k \in \mathbb{F}, k = 1, \dots, n\}$ by

$$\|x\|_p := \left(\sum_{k=1}^n |x_k|^p \right)^{1/p}.$$

For $p = \infty$ we define

$$\|x\|_\infty := \max\{|x_k| : k \in \{1, \dots, n\}\}.$$

The corresponding metrics for $p \in [1, \infty]$ are

$$d_p(x, y) = \|x - y\|_p.$$

We further define the *discrete metric* on \mathbb{F}^n by

$$\tilde{d}(x, y) := \begin{cases} 0, & \text{if } x = y \\ 1, & \text{o.w.} \end{cases} \quad \text{for } x, y \in \mathbb{F}^n.$$

Definition 8.2. Sei p eine reelle Zahl ≥ 1 und $\mathbb{F} = \mathbb{R}$ oder \mathbb{C} . Dann definiert man für Vektoren $x = (x_1, x_2, \dots, x_n) \in \mathbb{F}^n$ eine Norm $\|x\|_p \in \mathbb{R}_+$ durch

$$\|x\|_p := \left(\sum_{k=1}^n |x_k|^p \right)^{1/p}.$$

Für $p = \infty$ definieren wir

$$\|x\|_\infty := \max\{|x_k| : k \in \{1, \dots, n\}\}$$

Die entsprechenden Metriken für $p \in [1, \infty]$ sind

$$d_p(x, y) = \|x - y\|_p.$$

Weiter definieren wir die *diskrete Metrik* auf \mathbb{F}^n :

$$\tilde{d}(x, y) := \begin{cases} 0, & \text{falls } x = y \\ 1, & \text{sonst} \end{cases} \quad \text{für } x, y \in \mathbb{F}^n.$$

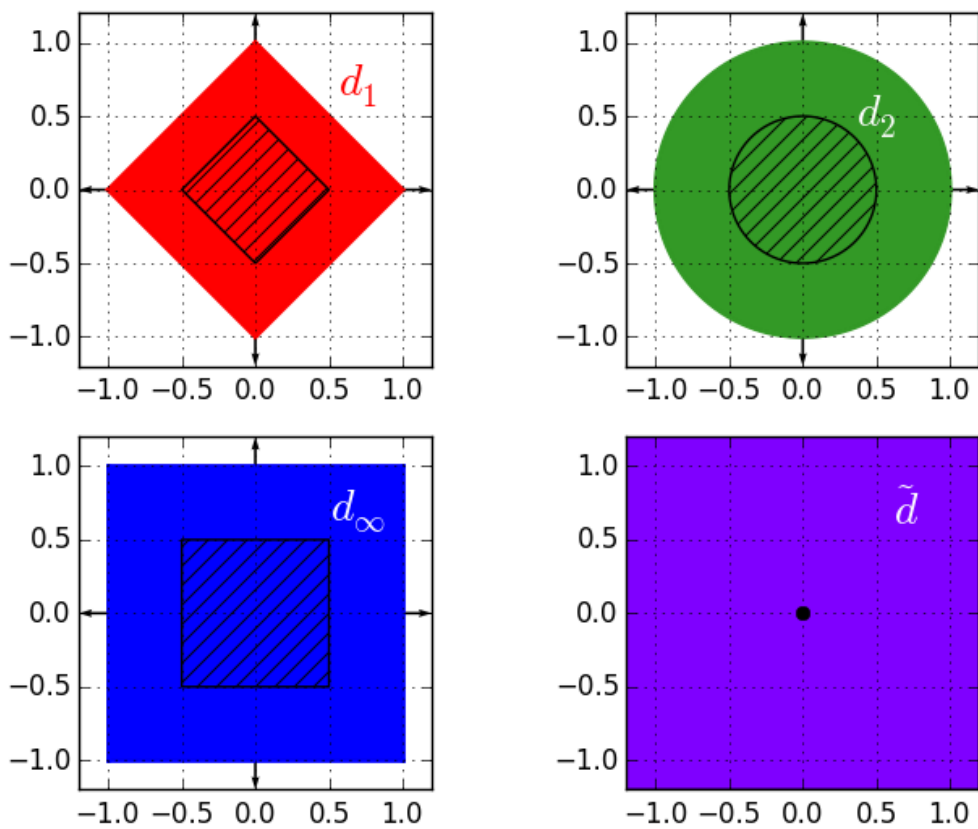


Figure / Abbildung 31: $\overline{B_1(0)}$ (colored region) and $\overline{B_{1/2}(0)}$ (hatched region) with respect to the metrics d_1 (upper left), d_2 (upper right) d_∞ (lower left), and \tilde{d} (lower right) / $B_1(0)$ (gefärbte Bereiche) und $B_{1/2}(0)$ (schraffierte Bereiche) bzgl. den Metriken d_1 (links oben), d_2 (rechts oben), d_∞ (links unten) und \tilde{d} (rechts unten)

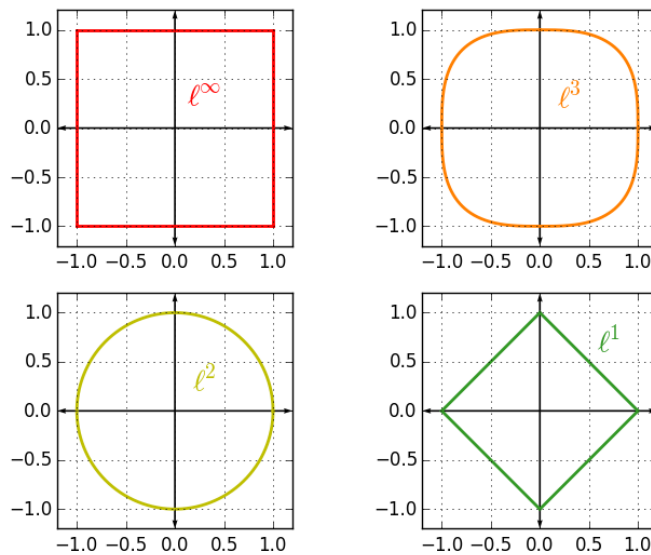


Figure / Abbildung 32: Unit circles of the metrics d_∞ (upper left), d_3 (upper right), d_2 (lower left) und d_1 (lower right) in two dimensions. / Einheitskreise der Metriken d_∞ (oben links), d_3 (oben rechts), d_2 (unten links) und d_1 (unten rechts) in zwei Dimensionen.

9 Integration and Step Functions / Integration und Treppenfunktionen

9.1 Step Functions / Treppenfunktionen

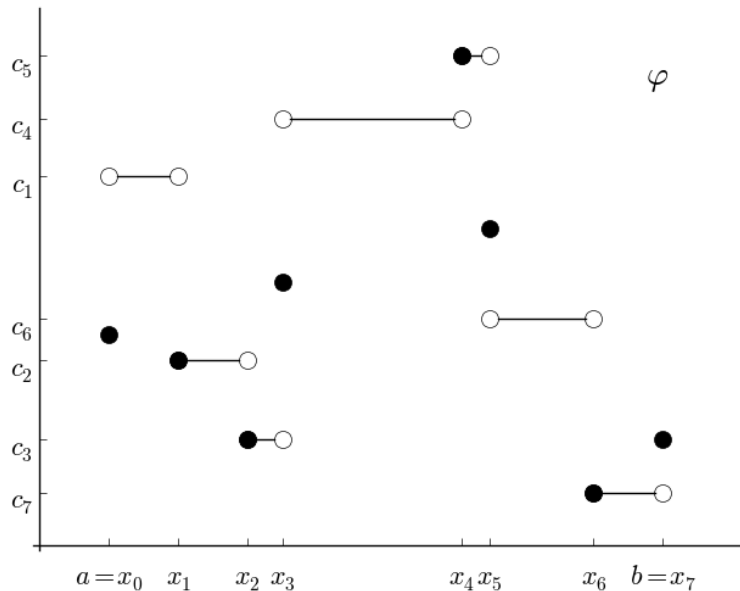


Figure / Abbildung 33: A step function $\varphi : [a, b] \rightarrow \mathbb{R}$ / Treppenfunktion $\varphi : [a, b] \rightarrow \mathbb{R}$

Theorem 9.1. Let $f : [a, b] \rightarrow \mathbb{R}$ be a continuous function. Then for each $\epsilon > 0$ there exist step functions $\varphi, \psi : [a, b] \rightarrow \mathbb{R}$ with the following properties:

1. $\varphi(x) \leq f(x) \leq \psi(x)$ for all $x \in [a, b]$ and
2. $|\varphi(x) - \psi(x)| \leq \epsilon$ for all $x \in [a, b]$.

Satz 9.1. Sei $f : [a, b] \rightarrow \mathbb{R}$ eine stetige Abbildung. Dann gibt es zu jedem $\epsilon > 0$ Treppenfunktionen $\varphi, \psi : [a, b] \rightarrow \mathbb{R}$ mit folgenden Eigenschaften:

1. $\varphi(x) \leq f(x) \leq \psi(x)$ für alle $x \in [a, b]$ und
2. $|\varphi(x) - \psi(x)| \leq \epsilon$ für alle $x \in [a, b]$.

Figure 34 illustrates Theorem 9.1. / Die Abbildung 34 veranschaulicht die Aussage von Satz 9.1.

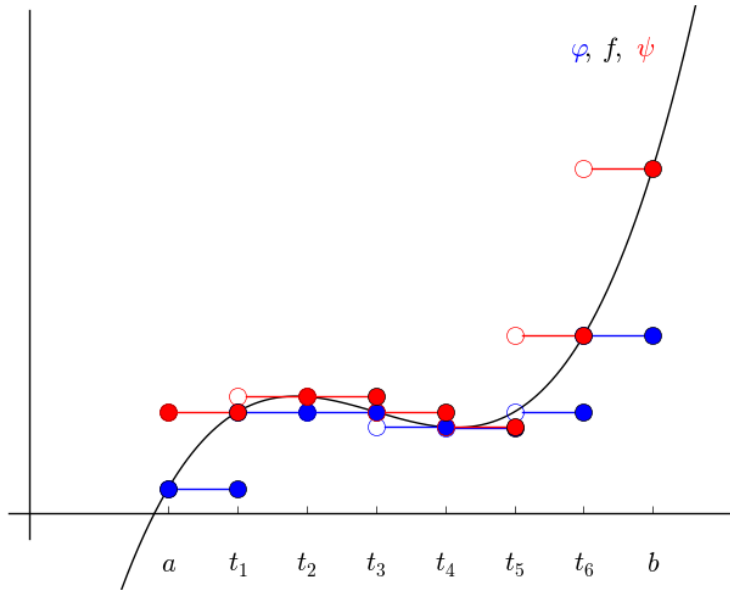


Figure / Abbildung 34: $f : [a, b] \rightarrow \mathbb{R}$ is approximated above and below by step functions $\varphi, \psi : [a, b] \rightarrow \mathbb{R}$. / $f : [a, b] \rightarrow \mathbb{R}$ wird durch Treppenfunktionen $\varphi, \psi : [a, b] \rightarrow \mathbb{R}$ approximiert.

Proposition 9.2. Let $\mathcal{T}[a, b]$ be the set of step functions $\varphi : [a, b] \rightarrow \mathbb{R}$. Then $\mathcal{T}[a, b]$ is a vector space.

Proposition 9.3. Sei $\mathcal{T}[a, b]$ die Menge aller Treppenfunktionen $\varphi : [a, b] \rightarrow \mathbb{R}$. Dann ist $\mathcal{T}[a, b]$ ein Vektorraum.

Let $\varphi, \psi \in \mathcal{T}[a, b]$. Then $\varphi + \psi \in \mathcal{T}[a, b]$. This is shown in Figure 35. / Sei $\varphi, \psi \in \mathcal{T}[a, b]$. Dann liegt $\varphi + \psi \in \mathcal{T}[a, b]$. Dies wird im Abbildung 35 veranschaulicht.

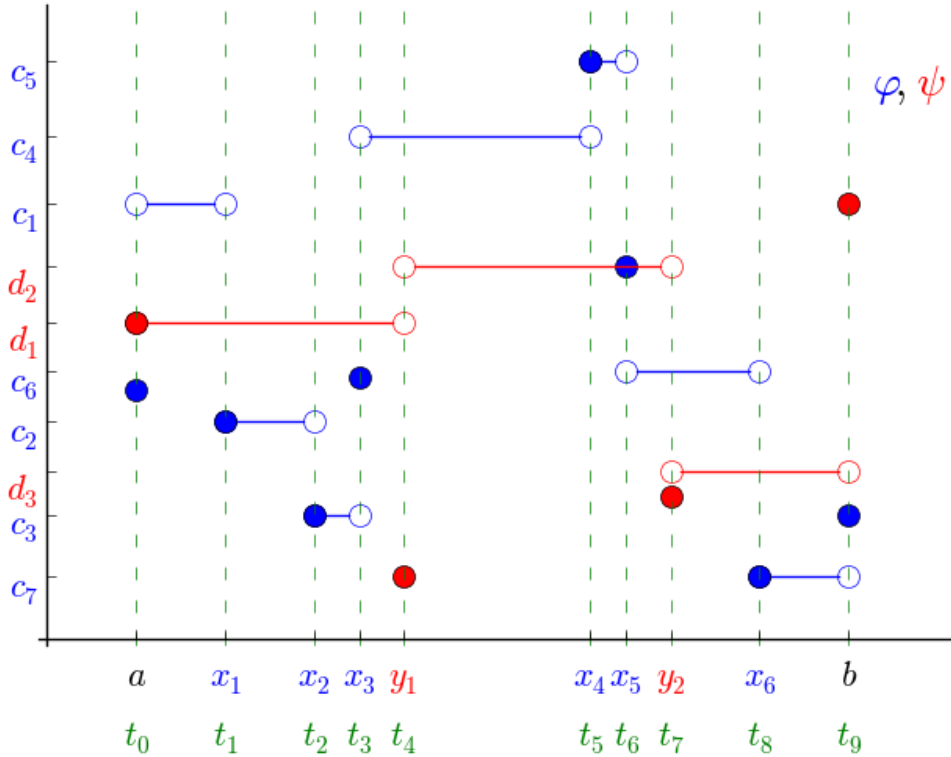


Figure / Abbildung 35: The step function $\varphi : [a, b] \rightarrow \mathbb{R}$ (resp., $\psi : [a, b] \rightarrow \mathbb{R}$) is defined via the partition $\{x_0 = a, x_1, \dots, x_7 = b\}$ (resp., $\{y_0 = a, y_1, y_2, y_3 = b\}$). Both φ und ψ are piecewise constant with respect to the refinement $\{t_0 = a, t_1, \dots, t_9 = b\}$. / Treppenfunktion $\varphi : [a, b] \rightarrow \mathbb{R}$ (bzw. $\psi : [a, b] \rightarrow \mathbb{R}$), die bzgl. der Unterteilung $\{x_0 = a, x_1, \dots, x_7 = b\}$ (bzw. $\{y_0 = a, y_1, y_2, y_3 = b\}$) definiert wird. φ und ψ sind auf der Verfeinerung der Unterteilung $\{t_0 = a, t_1, \dots, t_9 = b\}$ konstant.

Definition 9.4. Given a function $f : D \rightarrow \mathbb{R}$, we define the functions f_+ und f_- as

$$f_+(x) := \max\{f(x), 0\} = \begin{cases} f(x), & \text{when } f(x) > 0 \\ 0, & \text{o.w.} \end{cases}$$

$$f_-(x) := \max\{-f(x), 0\} = \begin{cases} -f(x), & \text{when } f(x) < 0 \\ 0, & \text{o.w.} \end{cases}$$

f_+ is called the *positive part* and f_- the *negative part* of f .

Definition 9.5. Für eine Abbildung $f : D \rightarrow \mathbb{R}$ definieren wir die Abbildungen

f_+ und f_- durch

$$f_+(x) := \max\{f(x), 0\} = \begin{cases} f(x), & \text{falls } f(x) > 0 \\ 0, & \text{sonst} \end{cases}$$

$$f_-(x) := \max\{-f(x), 0\} = \begin{cases} -f(x), & \text{falls } f(x) < 0 \\ 0, & \text{sonst} \end{cases}$$

f_+ heißt der *Positivteil* und f_- der *Negativteil*.

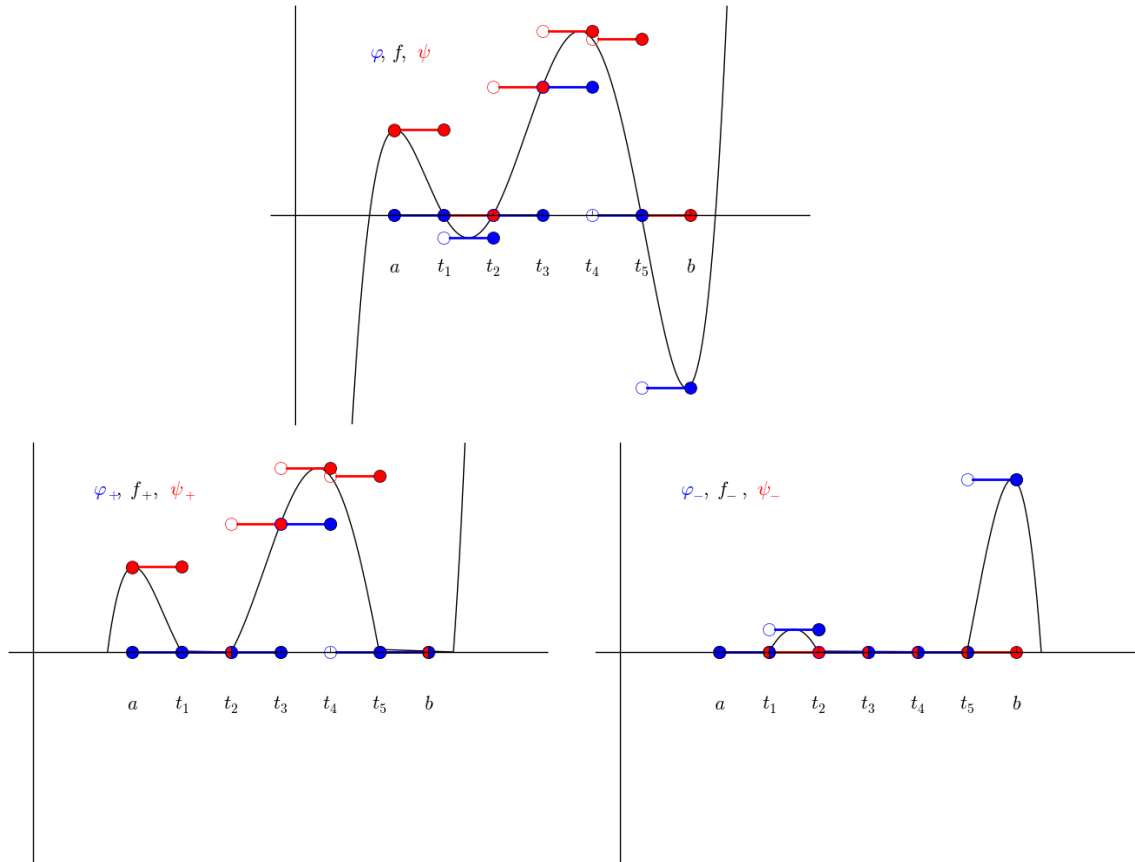


Figure / Abbildung 36: Top: $f : \mathbb{R} \rightarrow \mathbb{R}$ and $\varphi, \psi \in \mathcal{T}[a, b]$, so that $\varphi \leq f|_{[a,b]} \leq \psi$. Bottom left: f_+ , φ_+ and ψ_+ . Bottom right: f_- , φ_- und ψ_- . / Oben: $f : \mathbb{R} \rightarrow \mathbb{R}$ und $\varphi, \psi \in \mathcal{T}[a, b]$, sodass $\varphi \leq f|_{[a,b]} \leq \psi$. Unten links: f_+ , φ_+ und ψ_+ . Unten rechts: f_- , φ_- und ψ_- .

9.2 Riemann Integration / Riemann-Integration

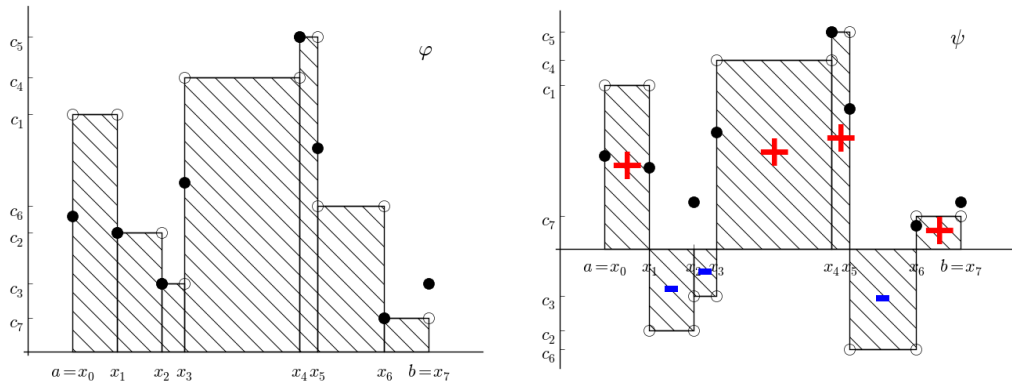


Figure / Abbildung 37: Left: The integral of a positive step function. Right: The integral of a step function with positive and negative values. / Links: Das Integral einer positiven Treppenfunktion. Rechts: Das Integral einer Treppenfunktion mit positiven und negativen Werten.

Proposition 9.6. *The Riemann integral is well-defined over step functions, i.e., it is not dependent on the choice of the underlying partition.*

Proposition 9.7. *Das Riemann-Integral für Treppenfunktionen ist wohldefiniert, das heißt es hängt nicht von der Wahl der Unterteilung (x_0, x_1, \dots, x_n) ab.*

(A part of the proof of Proposition 9.6 is shown in Figure 38. / Einige Konzepte des Beweises der Proposition 9.7 werden im Bild 38 veranschaulicht.)

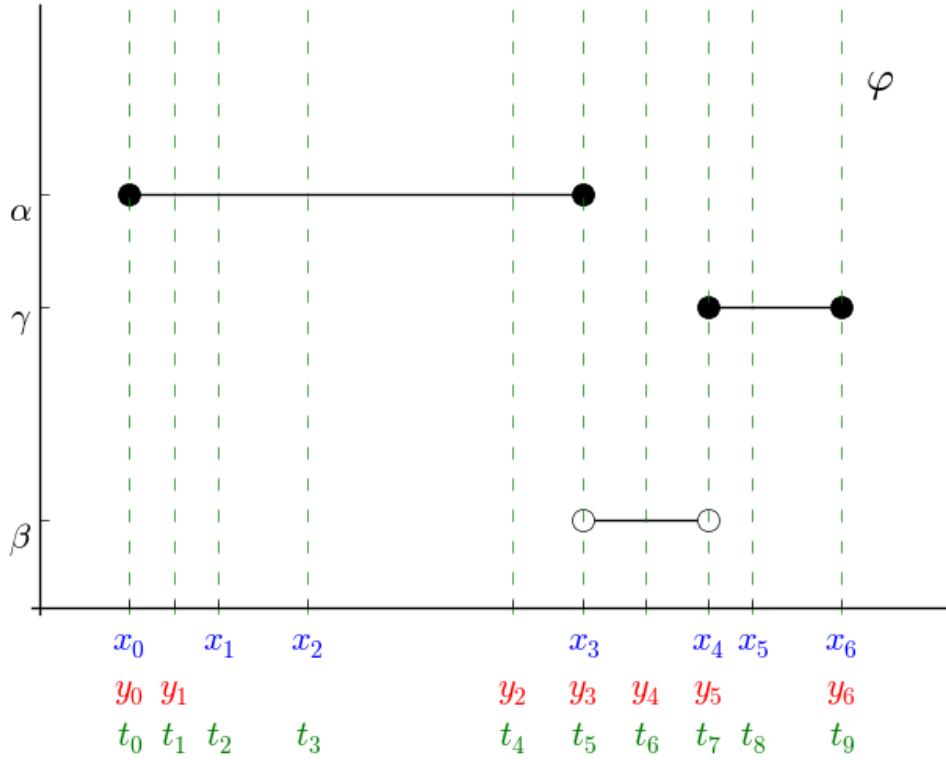


Figure / Abbildung 38: $\varphi : [a, b] \rightarrow \mathbb{R}$ is a step function. $a = x_0 < x_1 < \dots < x_6 = b$, $a = y_0 < y_1 < \dots < y_6 = b$, and $a = t_0 < t_1 < \dots < t_9 = b$ are partitions such that φ is constant on the sub-intervals. It also holds that $\varphi|_{(x_{k-1}, x_k)} =: c_k$, $\varphi|_{(y_{j-1}, y_j)} =: d_j$, and $\varphi|_{(t_{i-1}, t_i)} =: e_i$. Further, $\alpha = c_1 = c_2 = c_3 = d_1 = d_2 = d_3 = e_1 = e_2 = e_3 = e_4 = e_5$, $\beta = c_4 = d_4 = d_5 = e_6 = e_7$, and $\gamma = c_5 = c_6 = d_6 = e_8 = e_9$. / $\varphi : [a, b] \rightarrow \mathbb{R}$ ist eine Treppenfunktion. $a = x_0 < x_1 < \dots < x_6 = b$, $a = y_0 < y_1 < \dots < y_6 = b$ und $a = t_0 < t_1 < \dots < t_9 = b$ sind Unterteilungen, auf deren Teilintervallen φ konstant ist und gilt $\varphi|_{(x_{k-1}, x_k)} =: c_k$, $\varphi|_{(y_{j-1}, y_j)} =: d_j$ und $\varphi|_{(t_{i-1}, t_i)} =: e_i$. Es gilt weiter $\alpha = c_1 = c_2 = c_3 = d_1 = d_2 = d_3 = e_1 = e_2 = e_3 = e_4 = e_5$, $\beta = c_4 = d_4 = d_5 = e_6 = e_7$ und $\gamma = c_5 = c_6 = d_6 = e_8 = e_9$.

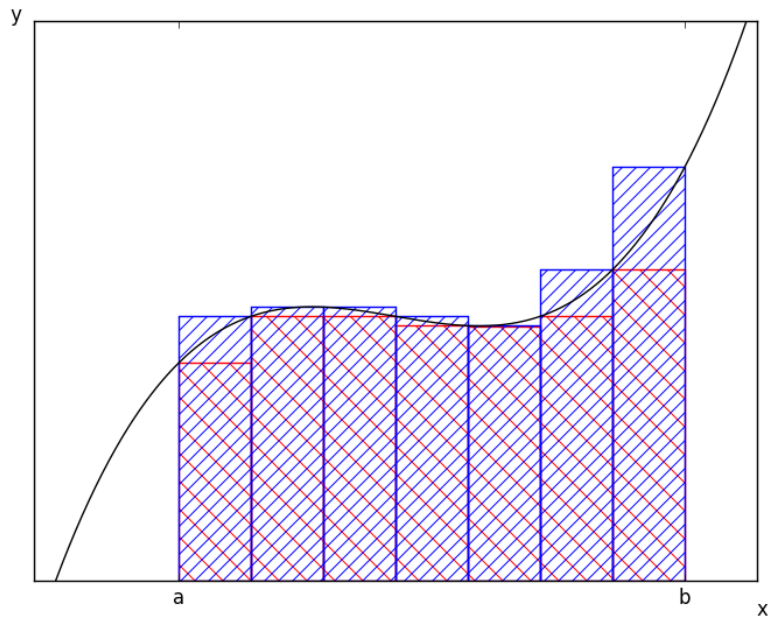


Figure / Abbildung 39: Approximation of a definite integral of a positive function. The area of the blue-hatched region is larger than $\int_a^b f(x)dx$, the area of the red-hatched region smaller. / Approximation des Werts eines bestimmten Integrals einer positiven Abbildung. Der Flächeninhalt des blau-schraffierten Bereichs ist größer als $\int_a^b f(x)dx$, der Flächeninhalt des rot-schraffierten Bereichs kleiner.

10 Linear Algebra / lineare Algebra

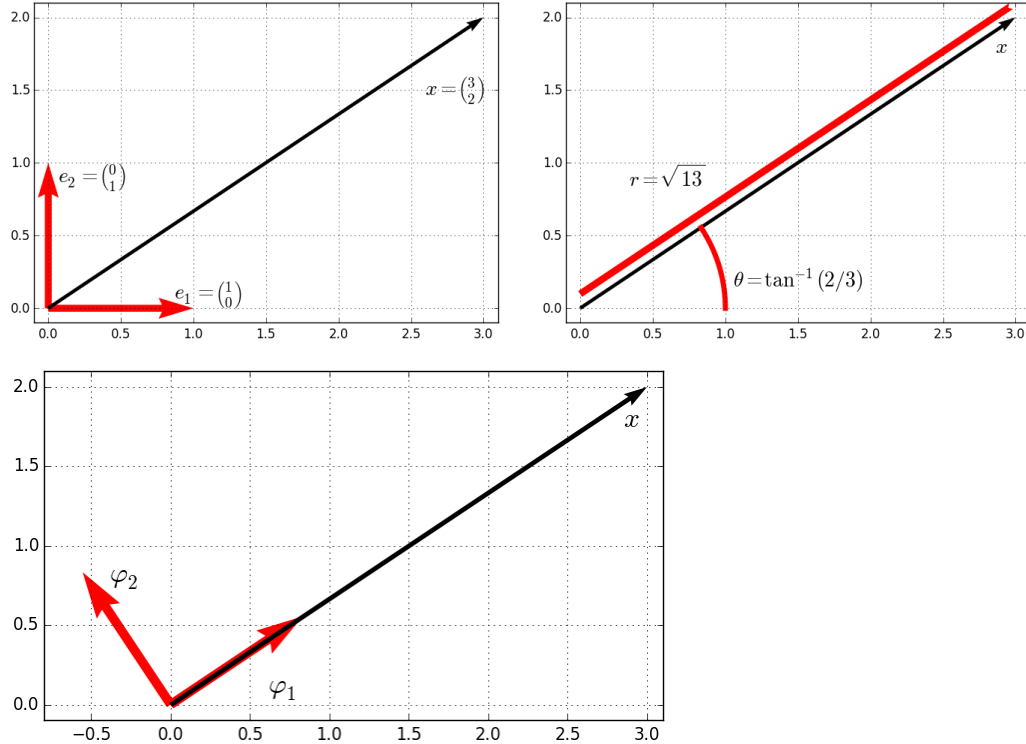


Figure / Abbildung 40: x is $3e_1 + 2e_2$, length $\sqrt{13}$ and an angle of $\tan^{-1}(2/3)$ counterclockwise from the horizontal axis, and $\sqrt{13}\varphi_1$. / $x = 3e_1 + 2e_2$, x hat Länge $= \sqrt{13}$ und Winkel $= \tan^{-1}(2/3)$ und $x = \sqrt{13}\varphi_1$.

11 Harmonic Analysis / harmonische Analysis

11.1 Time-Frequency Analysis / Zeit-Frequenz-Analyse

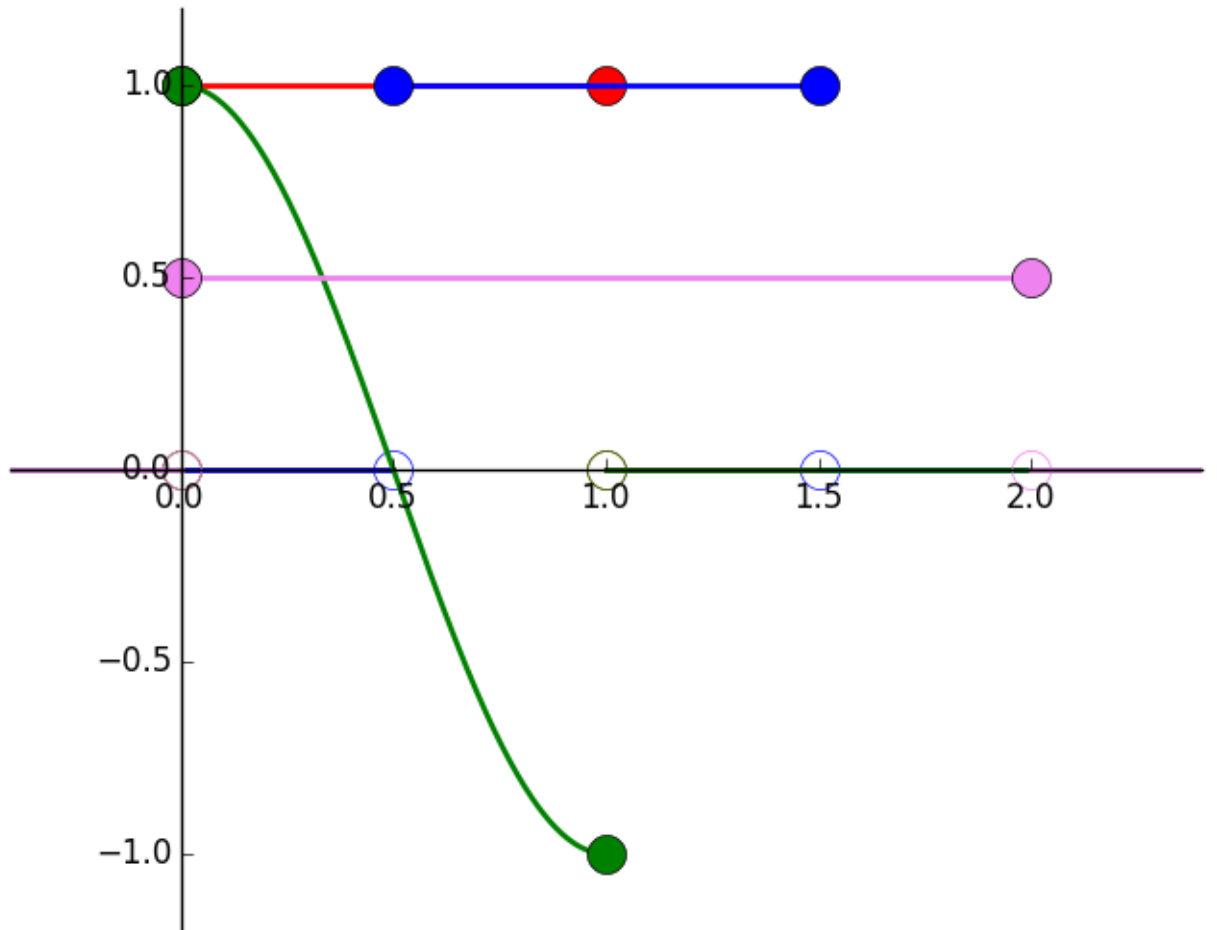


Figure / Abbildung 41: $f = \mathbb{1}_{[0,1]}$ is shown in red. $T_{1/2}f = \mathbb{1}_{[1/2,3/2]}$ is shown in blue. $\Re M_{1/2}f = \cos(\pi x)\mathbb{1}_{[0,1]}$ is shown in green. $f_{1/2} = \frac{1}{2}\mathbb{1}_{[0,2]}$ is shown in purple. / $f = \mathbb{1}_{[0,1]}$ (rot); $T_{1/2}f = \mathbb{1}_{[1/2,3/2]}$ (blau); $\Re M_{1/2}f = \cos(\pi x)\mathbb{1}_{[0,1]}$ (grün); $f_{1/2} = \frac{1}{2}\mathbb{1}_{[0,2]}$ (lila).

11.2 Wavelets / Wavelets

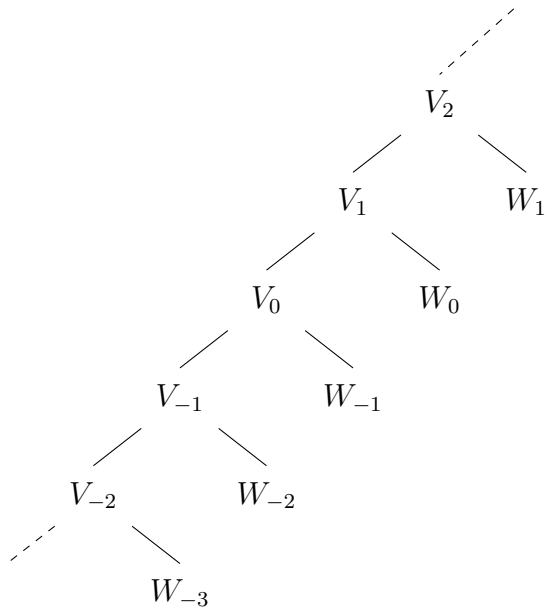


Figure / Abbildung 42: Multiresolution structure with detail and approximation spaces. / Multiskalenanalyse mit Waveletunterräumen und Skalierungsunterräumen.